

ВЛИЯНИЕ МАТЕРИАЛОВ СЛОЕВ НА ИЗГИБ СЭНДВИЧ-ПЛАСТИНЫ НА ОСНОВАНИИ ПАСТЕРНАКА

Козел А. Г.

Белорусский государственный университет транспорта, Гомель

В современном строительстве, аэрокосмическом комплексе, судостроении и строительстве не могут обойтись без применения композиционных, в том числе трехслойных конструкций. Конструктивно они состоят из внешних прочных слоев малой толщины, между которыми помещается относительно толстый наполнитель, а их соединение друг с другом обеспечивается склеиванием. Трехслойные пакеты могут изготавливаться из разнообразных материалов (бетона, древесины, металла, пластмасс и т. д.), которые варьируются в зависимости от необходимых характеристик и условий эксплуатации заданного изделия.

В монографии [1] приведены различные математические модели деформирования трехслойных стержней, изложены методы решения соответствующих краевых задач. Интересные задачи, связанные с исследованием влияния сжимаемости наполнителя на перемещения в пластине в случае осесимметричного деформирования решены в [2, 3], неосесимметричное нагружение пластин исследовалось в [4]. Деформирование круговых сэндвич-пластин на упругом основании под действием динамических нагрузок рассмотрено в [5–7], прямоугольных сэндвич-пластин – в [8, 9].

Осесимметричное деформирование несимметричных по толщине упругих круговых трехслойных пластин на основании Пастернака исследовалось в работах [10, 11]. Анализ напряженного состояния упругой и упругопластической круглой сэндвич-пластины выполнен в работах [12, 13]. Здесь приведена постановка и решение краевой задачи изгиба упругой круговой сэндвич-пластины, связанной со сложным основанием модели Пастернака, численно исследованы перемещения и напряжения при различных материалах несущих слоев и наполнителя.

1. Постановка задачи. Рассматривается сэндвич-пластина на упругом основании (рис. 1). Для изотропных несущих слоев толщиной $h_1 = h_2$ приняты гипотезы Кирхгофа. В относительно толстом несжимаемом по толщине наполнителе ($h_3 = 2c$) деформированная нормаль остается прямолинейной, не изменяет своей длины, но поворачивается на некоторый дополнительный угол ψ . Наполнитель считается легким, т. е. не учитывается работа касательных напряжений $\sigma_{rz}^{(3)}$ в тангенциальном направлении. Постановка и решение задачи приводится в цилиндрической системе координат r, φ, z , связанной со срединной плоскостью наполнителя. Ввиду симметрии пластины радиальное перемещение координатной плоскости $u(r)$ отсутствует. Решение задачи сводится к нахождению двух неизвестных функций – относительного сдвига в наполнителе $\psi(r)$ и прогиба пластины $w(r)$. На контуре пластины предполагается жесткая диафрагма, которая препятствует относительному сдвигу слоев.

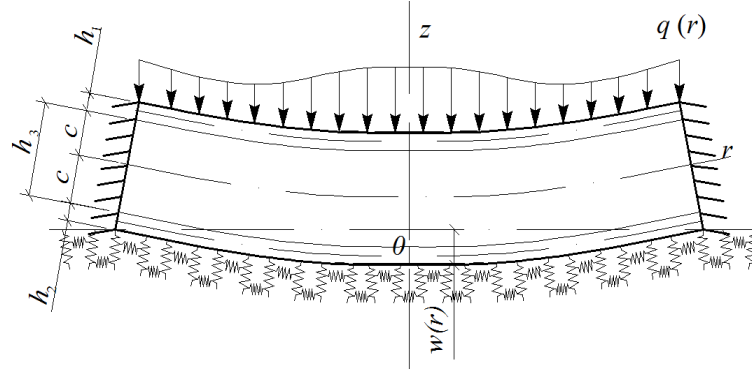


Рис. 1. Схема деформирования сэндвич-пластины в случае жесткой заделки контура

Осесимметричная нагрузка $q(r)$ распределена по верхнему слою пластины, реакция основания согласно модели Пастернака будет [14]:

$$q_R(r) = -\kappa_0 w + t_f \Delta w, \quad (1)$$

где κ_0 – коэффициент сжатия; t_f – коэффициент сдвига материала основания; Δ – оператор Лапласа в полярной системе координат

$$\Delta w(r) = \frac{d^2 w}{dr^2} + \frac{1}{r} \frac{dw}{dr}.$$

Система дифференциальных уравнений равновесия в усилиях, с учетом выражения (1), получена с помощью вариационного принципа Лагранжа в [12]:

$$M_{r,r}^{(3)} + \frac{1}{r} (M_r^{(3)} - M_\phi^{(3)}) = 0, \quad (2)$$

$$M_{r,rr} + \frac{1}{r} (2M_{r,r} - M_{\phi,r}) - \kappa_0 w + t_f \Delta w = -q,$$

где обобщенные внутренние моменты M_α , $M_\alpha^{(3)}$ ($\alpha = r, \phi$) будут

$$\begin{aligned} M_r &= \left[2cK_1^+ h_1 \left(c + \frac{h_1}{2} \right) + \frac{2}{3} c^3 K_3^+ \right] \psi_{,r} + \left[2cK_1^- h_1 \left(c + \frac{h_1}{2} \right) + \frac{2}{3} c^3 K_3^- \right] \frac{\psi}{r} - \\ &- \left[2K_1^+ h_1 \left(c^2 + ch_1 + \frac{h_1^2}{3} \right) + \frac{2}{3} c^3 K_3^+ \right] w_{,rr} - \left[2K_1^- h_1 \left(c^2 + ch_1 + \frac{h_1^2}{3} \right) + \frac{2}{3} c^3 K_3^- \right] \frac{w_{,r}}{r}, \\ M_r^{(3)} &= \int_{-c}^c \left[K_3^+ (z\psi_{,r} - zw_{,rr}) + \frac{1}{r} K_3^- (z\psi - zw_{,r}) \right] z dz, \\ M_\phi &= \left[2cK_1^- h_1 \left(c + \frac{h_1}{2} \right) + \frac{2}{3} c^3 K_3^- \right] \psi_{,r} + \left[2cK_1^+ h_1 \left(c + \frac{h_1}{2} \right) + \frac{2}{3} c^3 K_3^+ \right] \frac{\psi}{r} - \\ &- \left[2K_1^- h_1 \left(c^2 + ch_1 + \frac{h_1^2}{3} \right) + \frac{2}{3} c^3 K_3^- \right] w_{,rr} - \left[2K_1^+ h_1 \left(c^2 + ch_1 + \frac{h_1^2}{3} \right) + \frac{2}{3} c^3 K_3^+ \right] \frac{w_{,r}}{r}, \\ M_\phi^{(3)} &= \int_{-c}^c \left[K_3^- (z\psi_{,r} - zw_{,rr}) + \frac{1}{r} K_3^+ (z\psi - zw_{,r}) \right] z dz. \end{aligned}$$

Силовые граничные условия на контуре сэндвич-пластины ($r = R$):

$$M_r^{(3)} = M_r^{(3)0}, \quad M_r = M_r^0, \quad M_{r,r} + \frac{1}{r} (M_r - M_\phi) = Q^0, \quad (3)$$

где M_r^0 , $M_r^{(3)0}$, Q^0 – заданные внешние контурные усилия.

После подстановки обобщенных внутренних моментов M_α , $M_\alpha^{(3)}$ ($\alpha = r, \phi$), выраженных через искомые функции в (2), с учетом реакции основания (1), получена в перемещениях следующая система уравнений равновесия, описывающая изгиб круговой упругой сэндвич-пластины на двухпараметрическом основании Пастернака:

$$\begin{aligned} L_2(a_1\psi - a_2w_{,r}) &= 0, \\ L_3(a_2\psi - a_3w_{,r}) - \kappa_0w + t_f\Delta w &= -q, \end{aligned} \quad (4)$$

где запятая в нижнем индексе обозначает операцию дифференцирования по следующей за ней координате, коэффициенты a_i и дифференциальные операторы L_2, L_3 следующие

$$a_1 = c^2(2h_1K_1^+ + \frac{2}{3}cK_3^+), \quad a_2 = c[2h_1(c + \frac{1}{2}h_1)K_1^+ + \frac{2}{3}c^2K_3^+], \quad a_3 = 2h_1(c^2 + ch_1 + \frac{1}{3}h_1^2)K_1^+ + \frac{2}{3}c^3K_3^+,$$

$$K_k^+ \equiv K_k + \frac{4}{3}G_k, \quad K_k^- \equiv K_k - \frac{2}{3}G_k,$$

$$L_2(g) \equiv \left(\frac{1}{r}(rg)_{,r}\right)_{,r} \equiv g_{,rr} + \frac{g_{,r}}{r} - \frac{g}{r^2}, \quad L_3(g) \equiv \frac{1}{r}(rL_2(g))_{,r} \equiv g_{,rrr} + \frac{2g_{,rr}}{r} - \frac{g_{,r}}{r^2} + \frac{g}{r^3}.$$

Краевая задача по определению перемещений замыкается присоединением к (4) силовых (3) или кинематических граничных условий ($r = R$):

– в случае жесткой заделки контура пластины

$$\psi = 0, \quad w = 0, \quad w_{,r} = 0; \quad (5)$$

– при шарнирном опирании контура

$$\psi = 0, \quad w = 0, \quad M_r = 0; \quad (6)$$

– при свободном контуре

$$\psi = 0, \quad M_r = 0, \quad M_{r,r} = 0. \quad (7)$$

2. Решение краевой задачи. Выполнив ряд преобразований, перепишем систему (4) в виде:

$$\psi = \frac{a_2}{a_1}w_{,r} + C_1r + \frac{C_2}{r}, \quad (8)$$

$$w_{,rrr} + \frac{2}{r}w_{,rr} - \frac{1}{r^2}w_{,rr} + \frac{1}{r^3}w_{,r} - t_f D(w_{,rr} + \frac{1}{r}w_{,r}) + \kappa_0 D w = qD,$$

где C_1, C_2 – константы интегрирования, определяемые из граничных условий (5) – (7);

$$D = \frac{a_1}{a_3a_1 - a_2^2}.$$

Процедура решения системы уравнений (8) подробно рассмотрена в [12]. В нашем случае оно имеет вид:

$$\psi = \frac{a_2}{a_1}w_{,r} + C_1r + \frac{C_2}{r}; \quad (9)$$

$$w = C_3J_0(\sqrt{a}kr) + C_4H_0^{(1)}(\sqrt{a}kr) + C_5J_0(\sqrt{\bar{a}}kr) + C_6H_0^{(2)}(\sqrt{\bar{a}}kr) + w_p,$$

где C_3, C_4, C_5, C_6 – константы интегрирования; $J_0(\sqrt{a}kr), J_0(\sqrt{\bar{a}}kr)$ – функции Бесселя первого рода, нулевого порядка, комплексных аргументов $\sqrt{a}kr$ и $\sqrt{\bar{a}}kr$; $H_0^{(1)}(\sqrt{a}kr), H_0^{(2)}(\sqrt{\bar{a}}kr)$ – функции Ханкеля первого и второго рода, нулевого порядка от тех же аргументов; a, \bar{a} – величины, выражаемые через параметры пластины и основания; $\kappa^4 = \kappa_0 D$; w_p – частное решение исходного неоднородного уравнения.

Общее решение системы дифференциальных уравнений равновесия круговой сэндвич-пластины, связанной с основанием Пастернака, с учетом ограниченности прогиба в центре пластины $C_2 = C_4 = C_6 = 0$, будет следующим

$$\psi = \frac{a_2}{a_1}w_{,r} + C_1r, \quad (10)$$

$$w = C_3J_0(\sqrt{a}kr) + C_5J_0(\sqrt{\bar{a}}kr) + w_p.$$

В случае жесткой заделки контура пластины константы интегрирования C_1, C_3, C_5 определяются из граничных условий (5). В результате получаем

$$C_1 = 0, C_5 = \frac{w_{p,r}(R)J_0(\sqrt{a}kR) + \kappa\sqrt{a}J_1(\sqrt{a}kR)w_p(R)}{\kappa\left[\sqrt{a}J_1(\sqrt{a}kR)J_0(\sqrt{a}kR) - \sqrt{a}J_1(\sqrt{a}kR)J_0(\sqrt{a}kR)\right]}, \quad (11)$$

$$C_7 = \frac{w_{p,r}(R)J_0(\sqrt{a}kR) + \kappa\sqrt{a}J_1(\sqrt{a}kR)w_p(R)}{\kappa\left[\sqrt{a}J_1(\sqrt{a}kR)J_0(\sqrt{a}kR) - \sqrt{a}J_0(\sqrt{a}kR)J_1(\sqrt{a}kR)\right]}.$$

Таким образом, система (10) с константами интегрирования (11) дает рекуррентное решение задачи для рассматриваемой пластины при произвольной осесимметричной нагрузке.

3. Численный параметрический анализ. Численные результаты получены для защемленной по контуру трехслойной пластины единичного радиуса $R=1$ м, связанной с двухпараметрическим основанием Пастернака. Для основания приняты следующие параметры: $\kappa_0 = 100$ МПа/м, $t_f =$ МПа·м. Величина интенсивности поверхностной равномерно распределенной нагрузки $q_0 = 1$ МПа. Базовой является пластина, материалы несущих слоев которой набраны из дюралюминиевого сплава (Д16Т), наполнитель – фторопласт-4, толщины слоев $h_1 = h_2 = 0,04$ м, $h_3 = 0,4$ м. Механические характеристики этих и других материалов, используемых далее, заимствованы из [15]: Д16-Т – $G = 0,267 \cdot 10^5$ МПа, $K = 0,8 \cdot 10^5$ МПа; нитридкремниевая конструкционная керамика (НКККМ) – $G = 5,85 \cdot 10^5$ МПа, $K = 12,7 \cdot 10^5$ МПа; кордиерит – $G = 2,58 \cdot 10^5$ МПа, $K = 5,58 \cdot 10^5$ МПа; титан – $G = 0,41 \cdot 10^5$ МПа, $K = 1,04 \cdot 10^5$ МПа; политетрафторэтилен (фторопласт-4) – $G = 90$ МПа, $K = 345$ МПа; пенополиуретан – $G = 4,5$ МПа, $K = 11,765$ МПа; пенопласт – $G = 11,8$ МПа, $K = 55$ МПа.

Влияние материала наполнителя на прогиб пластины и сдвиг в наполнителе оказалось несущественным, кривые практически совпадали. Значительный эффект выбор материала наполнителя оказывает на изменение тангенциальных $\sigma_{rz}^{(3)}$ – (а) и радиальных $\sigma_r^{(3)}$ – (б) напряжений в наполнителе на склейке с верхним слоем ($z = c$) (рис. 2): 1 – пенополиуретан, 2 – пенопласт, 3 – фторопласт-4. При замене фторопласта-4 на пенопласт тангенциальные напряжения уменьшаются на 87 %, при использовании пенополиуретана – на 95 %, что объясняется уменьшением упругих модулей этих материалов.

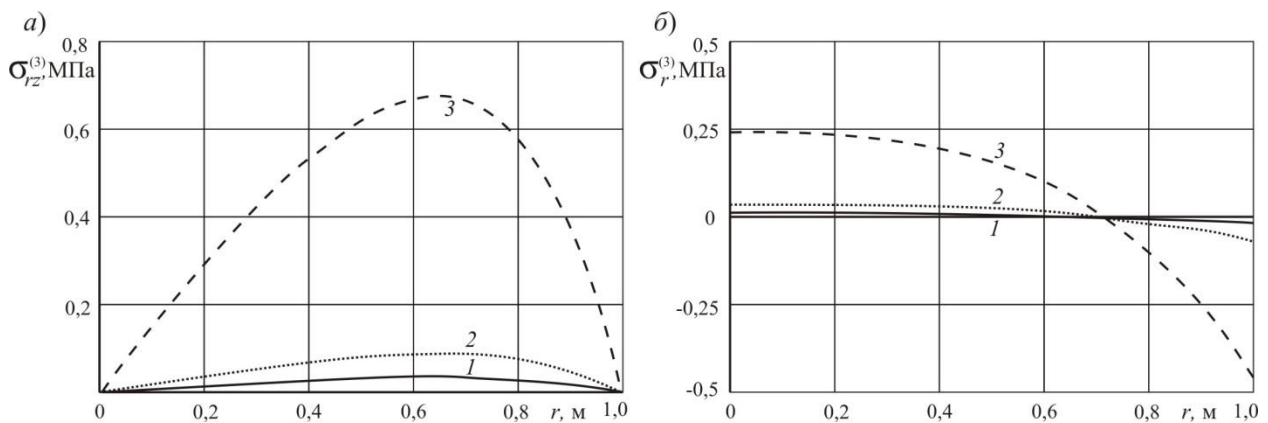


Рис. 2. Изменение тангенциальных $\sigma_{rz}^{(3)}$ и радиальных напряжений $\sigma_r^{(3)}$ вдоль радиуса пластины при различных материалах наполнителя

Зависимость прогиба пластины (а) и сдвига в наполнителе (б) от жесткости материала несущих слоев показана на рисунке 3: 1 – Д16Т–фторопласт-4–Д16Т, 2 – титан–фторопласт-4–титан, 3 – кордиерит–фторопласт-4–кордиерит, 4 – НКККМ–фторопласт-4–НКККМ. Если несущие слои выполнены из титана, то прогиб уменьшается на 13 %, если из кордиерита – на 72 %, из НКККМ – на 86 %.

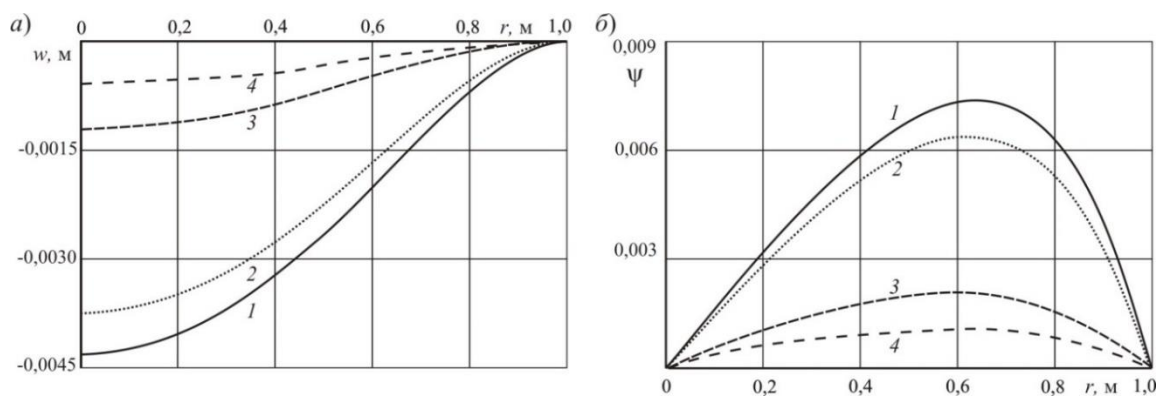


Рис. 3. Изменение прогиба w и сдвига в заполнителе ψ вдоль радиуса пластины

Также для подобных трехслойных пакетов проведено исследование изменения радиальных напряжений $\sigma_r(z)$ по толщине пластины на ее контуре (а) и в центре (б) (рис. 4), нумерация кривых прежняя.

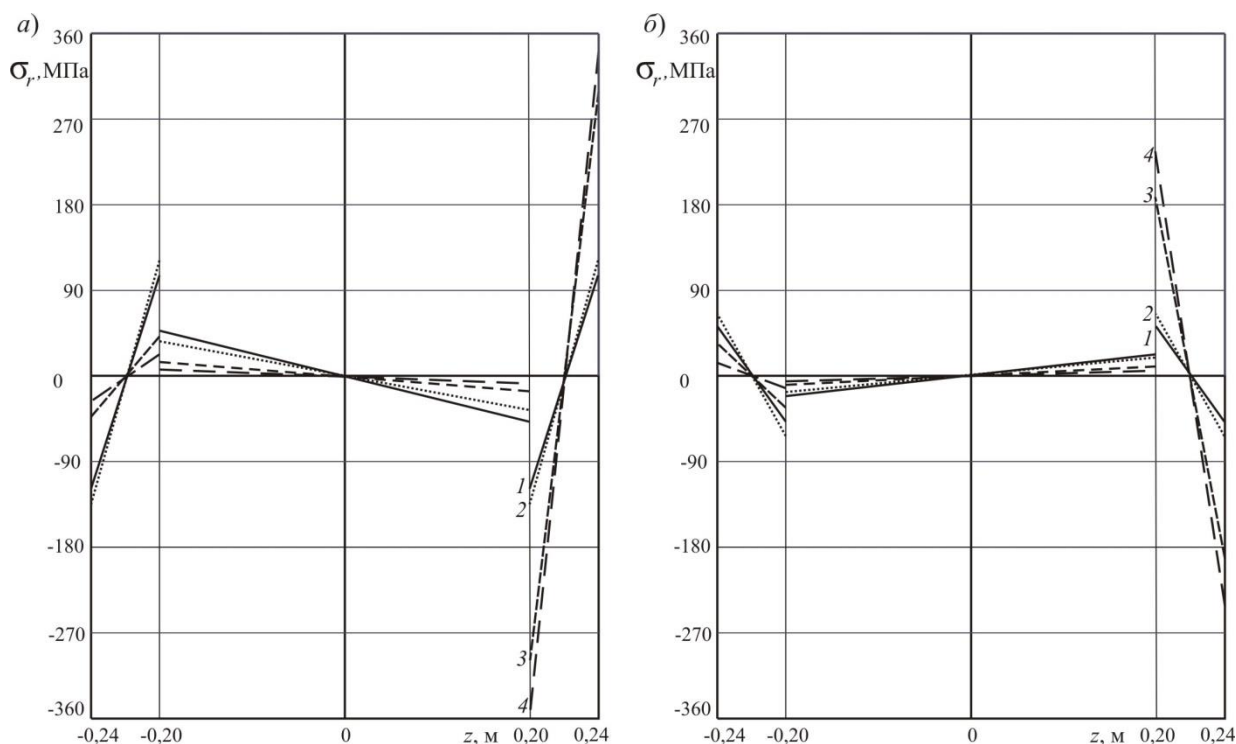


Рис. 4. Изменение радиальных напряжений σ_r по толщине пластины

Выводы. Для всех пакетов графики напряжений симметричны относительно срединной поверхности заполнителя в силу симметрии пластины по толщине. При этом напряжения в несущих слоях больше в титановом сплаве от 11 % (а) до 19 % (б), в заполнителе они уменьшаются от 8,5 % (б) до 18 % (а).

Работа выполнена при финансовой поддержке Белорусского Республиканского фонда фундаментальных исследований (проект № Т19РМ-089).

ЛИТЕРАТУРА

1. Старовойтов, Э. И. Трехслойные стержни в терморadiационных полях / Э. И. Старовойтов, М. А. Журавков, Д. В. Леоненко // – Минск: Бел. наука, 2017. – С. 275.

2. Зеленая, А. С. Деформирование упругой трехслойной прямоугольной пластины со сжимаемым наполнителем / А. С. Зеленая // Известия Гомельского гос. ун-та им. Ф. Скорины. Естественные науки. – 2017. – № 6(105). – С. 89–95.
3. Захарчук, Ю. В. Деформирование круговой трехслойной пластины со сжимаемым наполнителем / Ю. В. Захарчук // Проблемы физики, математики и техники. – 2017. – Т. 33, № 4. – С. 53–57.
4. Нестерович, А. В. Уравнения равновесия трехслойной круговой пластины при неосесимметричном нагружении / А. В. Нестерович // Теоретическая и прикладная механика: междунар. научн.-техн. сб. – Минск : БНТУ, 2019. – Вып. 34. – С. 154–159.
5. Starovoitov, E. I. Resonance vibrations of a circular composite plates on an elastic foundation / E. I. Starovoitov, D. V. Leonenko, D. V. Tarlakovsky // Mechanics of Composite Materials. – 2015. – Vol. 51, No 5. – P. 561–570.
6. Старовойтов, Э. И. Колебания круговых композитных пластин на упругом основании под действием локальных нагрузок / Э. И. Старовойтов, Д. В. Леоненко // Механика композитных материалов. – 2016. – Т. 52, № 5. – С. 943–954.
7. Леоненко, Д. В. Колебания круговых трехслойных пластин на упругом основании Пастернака / Д. В. Леоненко // Экологический вестник научных центров Черноморского экономического сотрудничества. – 2014. – № 1. – С. 59–63.
8. Sobhy, M. Buckling and free vibration of exponentially graded sandwich plates resting on elastic foundations under various boundary conditions / M. Sobhy // Composite Structures. – Vol. 99. – 2013. – P. 76–87.
9. Nonlinear vibration and dynamic buckling analyses of sandwich functionally graded porous plate with graphene platelet reinforcement resting on Winkler–Pasternak elastic foundation / Q. Li [et al.] // International Journal of Mechanical Sciences. – 2018. – Vol. 148. – P. 596–610.
10. Старовойтов, Э. И. Влияние жесткости основания Пастернака на деформирование круговой трехслойной пластины / Э. И. Старовойтов, А. Г. Козел // Проблемы машиностроения и автоматизации. – 2019. – № 2. – С. 106–113.
11. Старовойтов, Э. И. Изгиб упругой трехслойной круговой пластины на основании Пастернака / Э. И. Старовойтов, А. Г. Козел // Механика композиционных материалов и конструкций. – 2018. – Т. 24, № 1. – С. 392–406.
12. Козел, А. Г. Влияние сдвиговой жесткости основания на напряженное состояние сэндвич-пластины / А. Г. Козел // Фундаментальные и прикладные проблемы техники и технологии. – 2018. – № 6(332). – С. 25–35.
13. Козел, А. Г. Нелинейный изгиб сэндвич-пластины на основании Пастернака / А. Г. Козел // Теоретическая и прикладная механика: междунар. научн.-техн. сб. – Минск: БНТУ, 2020. – Вып. 35. – С. 106–113.
14. Пастернак, П. Л. Основы нового метода расчета фундаментов на упругом основании при помощи двух коэффициентов постели / П. Л. Пастернак // М.: Госстройиздат. – 1954. – С. 56.
15. Старовойтов, Э. И. Деформирование трехслойных элементов конструкций на упругом основании / Э. И. Старовойтов, А. В. Яровая, Д. В. Леоненко // Москва: Физматлит, 2006. – С. 379.

Поступила: 02.02.2021